

# Atténuation d'instabilités vibratoires à l'aide d'absorbeurs dynamiques non linéaires de type « NES »: prédition théorique des régimes d'oscillations

Baptiste Bergeot<sup>a</sup>, Sergio Bellizzi<sup>b</sup>, Bruno Cochelin<sup>b</sup>, Sébastien Berger<sup>b</sup>

---

<sup>a</sup>INSA Cente Val de Loire – Laboratoire de Mécanique Gabriel Lamé (LaMé)

<sup>b</sup>Laboratoire de Mécanique et d'Acoustique (LMA), Marseille

15 janvier 2019



## ① Introduction et résultats préliminaires

Absorbeurs dynamique non linéaires de type « NES »

NES pour atténuer une instabilité vibratoire

Prédiction des régimes d'oscillation: cas d'un Van der Pol couplé à un NES

## ② Systèmes instables couplés à $M$ NESs

Oscillateur de Van der Pol couplé à réseau de  $M$  NESs en parallèle

Système Primaire à  $N$  DDLs couplé à un ensemble de  $M$  NESs

## ③ Conclusion

# Plan

## ① Introduction et résultats préliminaires

Absorbeurs dynamique non linéaires de type « NES »

NES pour atténuer une instabilité vibratoire

Prédiction des régimes d'oscillation: cas d'un Van der Pol couplé à un NES

## ② Systèmes instables couplés à $M$ NESs

## ③ Conclusion

# Plan

## ① Introduction et résultats préliminaires

Absorbeurs dynamique non linéaires de type « NES »

NES pour atténuer une instabilité vibratoire

Prédiction des régimes d'oscillation: cas d'un Van der Pol couplé à un NES

## ② Systèmes instables couplés à $M$ NESs

Oscillateur de Van der Pol couplé à réseau de  $M$  NESs en parallèle

Système Primaire à  $N$  DDLs couplé à un ensemble de  $M$  NESs

## ③ Conclusion

# Absorbeurs dynamique non linéaires de type « NES »

- En anglais, *Nonlinear Energy Sink* : **NES**
- Oscillateurs à raideur purement non linéaire, généralement cubique :

$$\ddot{h} + \mu\dot{h} + \alpha h^3 = 0$$

- Couplés à un système primaire (SP), ils ont la capacité :
  - ⇒ d'adapter leur fréquence à celle du SP (relation amplitude/fréquence)
  - ⇒ d'absorber l'énergie du SP de manière irréversible (sous conditions)

## Pompage Énergétique (Targeted Energy Transfert - TET)

- Moyen de contrôle passif d'**oscillations libres, d'oscillations forcées et d'instabilités vibratoires**

# Absorbeurs dynamique non linéaires de type « NES »

- En anglais, *Nonlinear Energy Sink* : **NES**
- Oscillateurs à raideur purement non linéaire, généralement cubique :

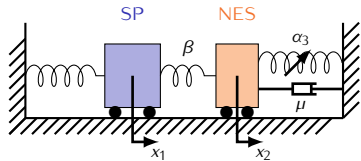
$$\ddot{h} + \mu\dot{h} + \alpha h^3 = 0$$

- Couplés à un système primaire (**SP**), ils ont la capacité :
  - ⇒ d'adapter leur fréquence à celle du SP (relation amplitude/fréquence)
  - ⇒ d'absorber l'énergie du SP de manière irréversible (sous conditions)

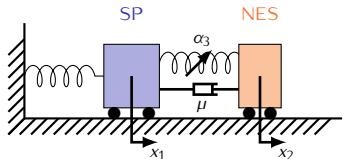
## Pompage Énergétique (Targeted Energy Transfert - TET)

- Moyen de contrôle passif d'**oscillations libres**, d'**oscillations forcées** et d'**instabilités vibratoires**

Configuration "Grounded"



Configuration "Ungrounded"



# Plan

## ① Introduction et résultats préliminaires

Absorbeurs dynamique non linéaires de type « NES »

NES pour atténuer une instabilité vibratoire

Prédiction des régimes d'oscillation: cas d'un Van der Pol couplé à un NES

## ② Systèmes instables couplés à $M$ NESs

Oscillateur de Van der Pol couplé à réseau de  $M$  NESs en parallèle

Système Primaire à  $N$  DDLs couplé à un ensemble de  $M$  NESs

## ③ Conclusion

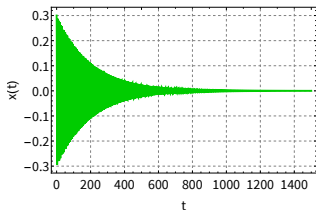
## Oscillateur de Van der Pol

$$\ddot{x} + \epsilon \rho \dot{x} \left( x^2 - 1 \right) + x = 0$$

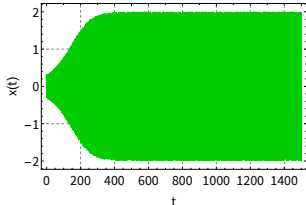
$\rho$  : paramètre de bifurcation

$\epsilon$  : petit paramètre

- $\rho < 0$  : VdP stable

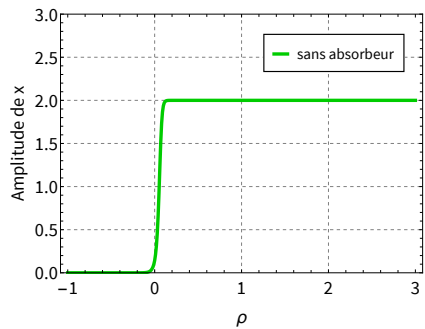


- $\rho > 0$  : VdP instable + Cycle Limite



### Diagramme de bifurcation

Amplitude crête à crête du régime établi en fonction du paramètre de bifurcation (ici  $\rho$ )

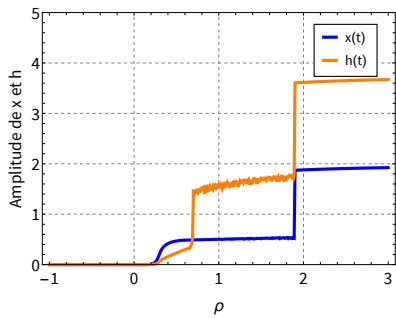
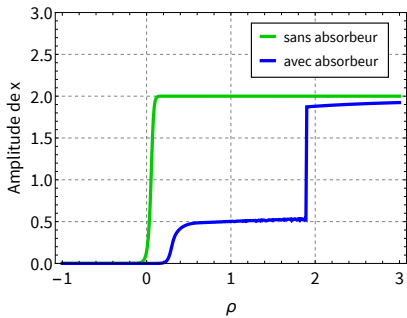


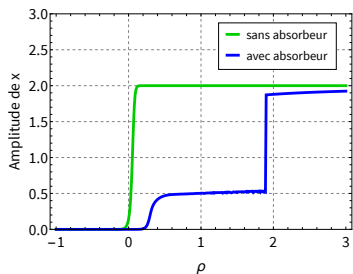
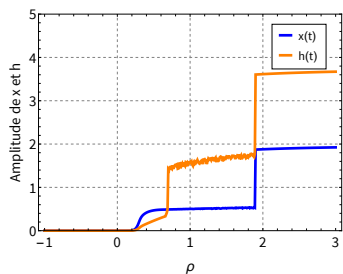
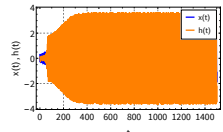
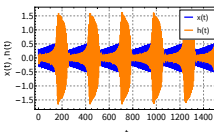
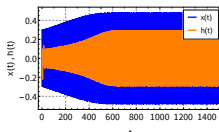
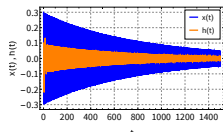
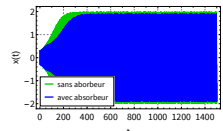
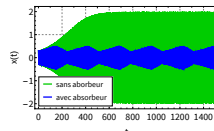
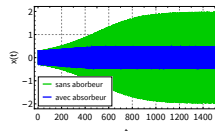
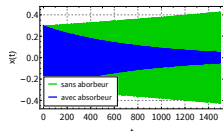
## Oscillateur de Van der Pol + NES ungrounded

$$\ddot{x} + \epsilon \rho \dot{x} \left( x^2 - 1 \right) + x + \epsilon \mu (\dot{x} - \dot{h}) + \epsilon \alpha (x - h)^3 = 0$$

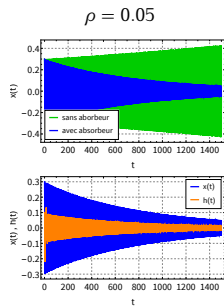
$$\epsilon \ddot{h} - \epsilon \mu (\dot{x} - \dot{h}) - \epsilon \alpha (x - h)^3 = 0$$

### Modification du diagramme de bifurcation

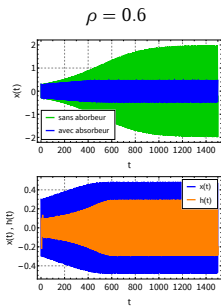


 $\rho = 0.05$  $\rho = 1.2$  $\rho = 2.7$ Stabilisation  
(effet linéaire)Régimes périodiques  
(effet non linéaire)Régimes  
quasi-périodiques (SMR)  
(effet non linéaire)

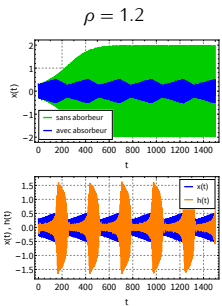
"Pas d'effet"



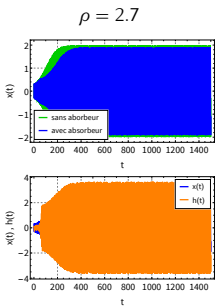
Stabilisation  
(effet linéaire)



Régimes périodiques  
(effet non linéaire)



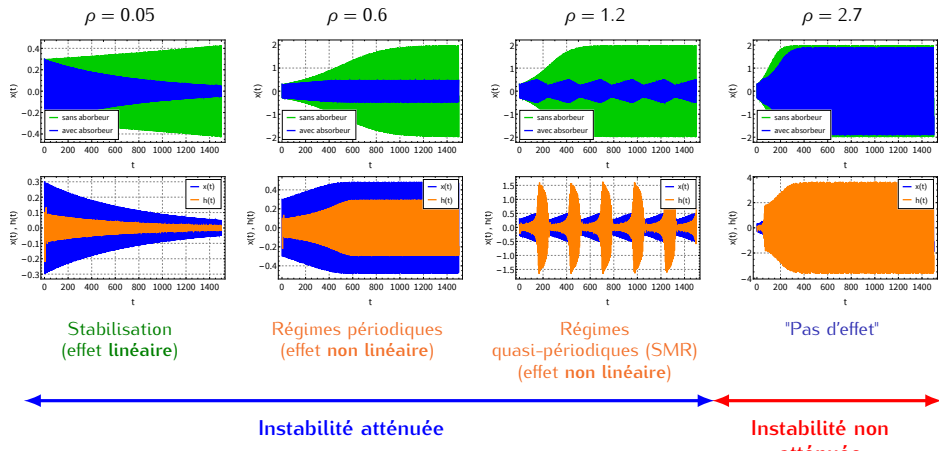
Régimes  
quasi-périodiques (SMR)  
(effet non linéaire)



"Pas d'effet"

Instabilité atténuée

Instabilité non  
atténuée

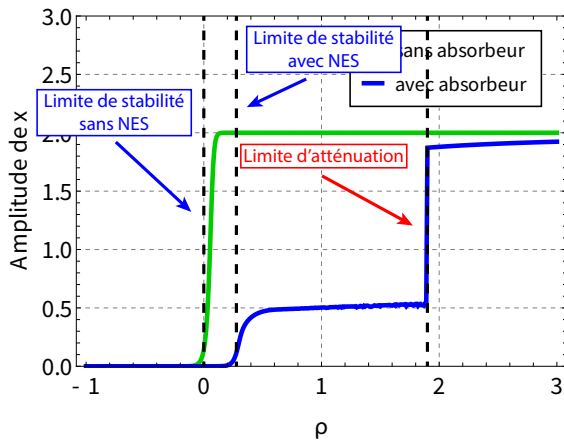


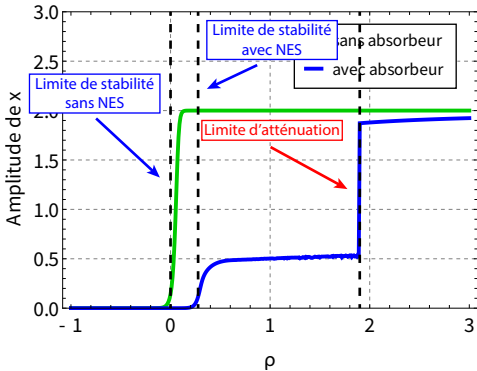
### Limite d'atténuation

Valeur du paramètre de bifurcation considéré (ici  $\rho$ ) qui sépare les zones où l'instabilité est atténuée de celles où elle ne l'est pas

## Limite d'atténuation

Valeur du paramètre de bifurcation considéré (ici  $\rho$ ) qui sépare les zones où l'instabilité est atténuée de celles où elle ne l'est pas





## Objectifs du travail

- Mettre en œuvre des techniques d'analyse permettant la prédition des régimes d'oscillations résultant du couplage entre un système primaire instable couplé à 1 ou plusieurs NESs
- ⇒ Prédire la limite d'atténuation

# Plan

## ① Introduction et résultats préliminaires

Absorbeurs dynamique non linéaires de type « NES »

NES pour atténuer une instabilité vibratoire

Prédiction des régimes d'oscillation: cas d'un Van der Pol couplé à un NES

## ② Systèmes instables couplés à $M$ NESs

Oscillateur de Van der Pol couplé à réseau de  $M$  NESs en parallèle

Système Primaire à  $N$  DDLs couplé à un ensemble de  $M$  NESs

## ③ Conclusion

# Prédiction des régimes d'oscillations

[O. Gendelman et T. Bar, "Bifurcations of self-excitation regimes in a Van der Pol oscillator with a nonlinear energy sink", *Physica D*, 2010]

## ⇒ Passage en coordonnées barycentriques

- Équations du mouvement et  $x$  et  $h$  :

$$\begin{aligned} \ddot{x} + \epsilon \rho \dot{x} \left( x^2 - 1 \right) + x + \epsilon \mu (\dot{x} - \dot{h}) + \epsilon \alpha (x - h)^3 &= 0 \\ \epsilon \ddot{h} - \epsilon \mu (\dot{x} - \dot{h}) - \epsilon \alpha (x - h)^3 &= 0 \end{aligned}$$

- On passe en coordonnées barycentriques :  $u = x + \epsilon h$  et  $v = x - h$  + DL d'ordre 1 en  $\epsilon = 0$

$$\begin{aligned} \ddot{u} - \epsilon \rho \dot{u} + u + \epsilon (v - u) + \epsilon \rho u^2 \dot{u} &= 0 \\ \ddot{v} + \mu \dot{v} + \alpha v^3 + \epsilon \left( \mu \dot{v} + \lambda \dot{u} + v - u + \alpha v^3 \right) &= 0 \end{aligned}$$

# Prédiction des régimes d'oscillations - Calcul du flot lent

## Hypothèse de résonance 1 : 1

Les NES adapte sa fréquence à celle du système primaire



Les deux DDLs oscillent à la pulsation propre  $\omega = 1$  du système primaire

## Définition

Flot lent : variations lentes par rapport aux oscillations rapides de pulsation  $\omega = 1$

## Étape de la méthode

- ① Calcul du flot lent par la méthode de **complexification-moyennage**
- ② Analyse asymptotique du flot lent

# Prédiction des régimes d'oscillations - Calcul du flot lent

## Hypothèse de résonance 1 : 1

Les NES adapte sa fréquence à celle du système primaire



Les deux DDLs oscillent à la pulsation propre  $\omega = 1$  du système primaire

## Définition

**Flot lent** : variations lentes par rapport aux oscillations rapides de pulsation  $\omega = 1$

## Étape de la méthode

- ① Calcul du flot lent par la méthode de **complexification-moyennage**
- ② Analyse asymptotique du flot lent

# Prédiction des régimes d'oscillations - Calcul du flot lent

## Hypothèse de résonance 1 : 1

Les NES adapte sa fréquence à celle du système primaire



Les deux DDLs oscillent à la pulsation propre  $\omega = 1$  du système primaire

## Définition

**Flot lent** : variations lentes par rapport aux oscillations rapides de pulsation  $\omega = 1$

## Étape de la méthode

- ① **Calcul du flot lent** par la méthode de **complexification-moyennage**
- ② **Analyse asymptotique** du flot lent

# Prédiction des régimes d'oscillations - Calcul du flot lent

⇒ Méthode de complexification-moyennage

- Complexification :

on pose  $\psi_1 = \dot{u} + ju$  et  $\psi_2 = \dot{v} + jv$

puis  $\psi_1 = \phi_1 e^{jt}$  et  $\psi_2 = \phi_2 e^{jt}$

et enfin  $\phi_1(t) = se^{j\theta_s}$  et  $\phi_2(t) = re^{j\theta_r}$

↪  $\phi_1$  et  $\phi_2$  : **amplitude complexe** (on fera l'hypothèse qu'elle varie lentement)

↪  $e^{jt}$  : oscillation de pulsation  $\omega = 1$  (rapide)

⇒ Exemple sur  $u$  pour comprendre la signification des amplitudes complexes :

$$u = \frac{\psi_1 - \psi_1^*}{2j} = s \sin(t + \theta_s)$$

$$\dot{u} = \frac{\psi_1 + \psi_1^*}{2} = s \cos(t + \theta_s)$$

# Prédiction des régimes d'oscillations - Calcul du flot lent

⇒ Méthode de complexification-moyennage

- Complexification :

on pose  $\psi_1 = \dot{u} + ju$  et  $\psi_2 = \dot{v} + jv$

puis  $\psi_1 = \phi_1 e^{jt}$  et  $\psi_2 = \phi_2 e^{jt}$

et enfin  $\phi_1(t) = se^{j\theta_s}$  et  $\phi_2(t) = re^{j\theta_r}$

↪  $\phi_1$  et  $\phi_2$  : **amplitude complexe** (on fera l'hypothèse qu'elle varie lentement)

↪  $e^{jt}$  : oscillation de pulsation  $\omega = 1$  (rapide)

⇒ Exemple sur  $u$  pour comprendre la signification des amplitudes complexes :

$$u = \frac{\psi_1 - \psi_1^*}{2j} = s \sin(t + \theta_s)$$

$$\text{et } \dot{u} = \frac{\psi_1 + \psi_1^*}{2} = s \cos(t + \theta_s)$$

# Prédiction des régimes d'oscillations - Calcul du flot lent

- Moyennage : ( $\approx$  équilibrage harmonique)
  - ↪ On écrit les équations en fonctions des amplitudes complexes  $\phi_1$  et  $\phi_2$
  - ↪ On équilibre les termes en  $e^{njt}$  et  $e^{-njt}$  ( $n = 1, 2, 3$ )
  - ↪ **Hypothèse de résonance 1 : 1**  $\Rightarrow$  on ne garde que les termes oscillant à la pulsation  $\omega = 1$ , c-à-d les termes en facteur de  $e^{jt}$

# Prédiction des régimes d'oscillations - Calcul du flot lent

- **Moyennage** : ( $\approx$  équilibrage harmonique)

- ↪ On écrit les équations en fonctions des amplitudes complexes  $\phi_1$  et  $\phi_2$
- ↪ On équilibre les termes en  $e^{njt}$  et  $e^{-njt}$  ( $n = 1, 2, 3$ )
- ↪ **Hypothèse de résonance 1 : 1**  $\Rightarrow$  on ne garde que les termes oscillant à la pulsation  $\omega = 1$ , c-à-d les termes en facteur de  $e^{jt}$

## Expression finale du flot lent en variable réelle

$$\dot{s} = \epsilon f(s, r, \theta)$$

$$\dot{r} = g_1(s, r, \theta, \epsilon)$$

$$\dot{\theta} = g_2(s, r, \theta, \epsilon)$$

avec  $\boxed{\phi_1 = se^{j\theta_s}}$ ,  $\boxed{\phi_2 = re^{j\theta_r}}$  et  $\boxed{\theta = \theta_s - \theta_r}$

# Prédiction des régimes d'oscillations - Calcul du flot lent

- **Moyennage** : ( $\approx$  équilibrage harmonique)
  - ↪ On écrit les équations en fonctions des amplitudes complexes  $\phi_1$  et  $\phi_2$
  - ↪ On équilibre les termes en  $e^{njt}$  et  $e^{-njt}$  ( $n = 1, 2, 3$ )
  - ↪ **Hypothèse de résonance 1 : 1**  $\Rightarrow$  on ne garde que les termes oscillant à la pulsation  $\omega = 1$ , c-à-d les termes en facteur de  $e^{jt}$

## Expression finale du flot lent en variable réelle

$$\dot{s} = \epsilon f(s, r, \theta)$$

$$\dot{r} = g_1(s, r, \theta, \epsilon)$$

$$\dot{\theta} = g_2(s, r, \theta, \epsilon)$$

avec  $\boxed{\phi_1 = se^{j\theta_s}}$ ,  $\boxed{\phi_2 = re^{j\theta_r}}$  et  $\boxed{\theta = \theta_s - \theta_r}$

Le flot lent est un système **lent-rapide** avec  
1 variable lente  $s$  et 2 variables rapides  $r$  et  $\theta$

$\Rightarrow$  Évolution dans le temps du flot lent présente des **phases rapides** et des **phases lentes**

# Prédiction des régimes d'oscillations - Analyse asymptotique du flot lent

## Analyse asymptotique

- Méthode des échelles multiples [A. Nayfeh, *Perturbation Methods*, 2008]
- **Approche géométrique de la théorie des perturbations singulières**  
[C.K.R.T. Jones, *Geometric Singular Perturbation Theory*, 1995]

# Prédiction des régimes d'oscillations - Analyse asymptotique du flot lent

## Analyse asymptotique

- Méthode des échelles multiples [A. Nayfeh, *Perturbation Methods*, 2008]
- **Approche géométrique de la théorie des perturbations singulières** [C.K.R.T. Jones, *Geometric Singular Perturbation Theory*, 1995]

Flot lent écrit  
à l'échelle de temps rapide  $t$

$$\dot{s} = \epsilon f(s, r, \theta)$$

$$\dot{r} = g_1(s, r, \theta, \epsilon)$$

$$\dot{\theta} = g_2(s, r, \theta, \epsilon)$$

Flot lent écrit  
à l'échelle de temps lente  $\tau = \epsilon t$

$$s' = f(s, r, \theta)$$

$$\epsilon r' = g_1(s, r, \theta, \epsilon)$$

$$\epsilon \theta' = g_2(s, r, \theta, \epsilon)$$

# Prédiction des régimes d'oscillations - Analyse asymptotique du flot lent

## Analyse asymptotique

- Méthode des échelles multiples [A. Nayfeh, *Perturbation Methods*, 2008]
- **Approche géométrique de la théorie des perturbations singulières**  
[C.K.R.T. Jones, *Geometric Singular Perturbation Theory*, 1995]

Flot lent écrit  
à l'échelle de temps rapide  $t$

$$\begin{aligned}\dot{s} &= \epsilon f(s, r, \theta) \\ \dot{r} &= g_1(s, r, \theta, \epsilon) \\ \dot{\theta} &= g_2(s, r, \theta, \epsilon)\end{aligned}$$

quand  $\epsilon = 0$  cela devient

$$\begin{aligned}\dot{s} &= 0 \\ \dot{r} &= g_1(s, r, \theta, 0) \\ \dot{\theta} &= g_2(s, r, \theta, 0)\end{aligned}$$

↪ sous-système rapide

Flot lent écrit  
à l'échelle de temps lente  $\tau = \epsilon t$

$$\begin{aligned}s' &= f(s, r, \theta) \\ \epsilon r' &= g_1(s, r, \theta, \epsilon) \\ \epsilon \theta' &= g_2(s, r, \theta, \epsilon)\end{aligned}$$

quand  $\epsilon = 0$  cela devient

$$\begin{aligned}s' &= f(s, r, \theta) \\ 0 &= g_1(s, r, \theta, 0) \\ 0 &= g_2(s, r, \theta, 0)\end{aligned}$$

↪ sous-système lent

# Prédiction des régimes d'oscillations - Analyse asymptotique du flot lent

$$\dot{s} = 0$$

$$\dot{r} = g_1(s, r, \theta, 0)$$

$$\dot{\theta} = g_2(s, r, \theta, 0)$$

↪ sous-système rapide

$$s' = f(s, r, \theta)$$

$$0 = g_1(s, r, \theta, \epsilon)$$

$$0 = g_2(s, r, \theta, \epsilon)$$

↪ sous-système lent

## Variété critique

$$S := \left\{ (s, r, \theta) \in \mathbb{R}^3 \mid g_1(s, r, \theta, 0) = 0 \text{ and } g_2(s, r, \theta, 0) = 0 \right\}$$

- Sous-espace de  $\mathbb{R}^3$  où évolue le système pendant les phases lentes
- Chaque point de  $S$  est un point fixe du sous-système rapide

## Expression de la variété critique $S$ :

$$g_1(s, r, \theta, 0) = 0$$

$$g_2(s, r, \theta, 0) = 0$$

$$s^2 = H(r) = r^2 \left( \mu^2 + \left( 1 - \frac{3\alpha r^2}{4} \right) \right)$$

$$\tan \theta = G(r)$$

# Prédiction des régimes d'oscillations - Analyse asymptotique du flot lent

$$\dot{s} = 0$$

$$\dot{r} = g_1(s, r, \theta, 0)$$

$$\dot{\theta} = g_2(s, r, \theta, 0)$$

↪ sous-système rapide

$$s' = f(s, r, \theta)$$

$$0 = g_1(s, r, \theta, \epsilon)$$

$$0 = g_2(s, r, \theta, \epsilon)$$

↪ sous-système lent

## Variété critique

$$S := \left\{ (s, r, \theta) \in \mathbb{R}^3 \mid g_1(s, r, \theta, 0) = 0 \text{ and } g_2(s, r, \theta, 0) = 0 \right\}$$

- Sous-espace de  $\mathbb{R}^3$  où évolue le système pendant les phases lentes
- Chaque point de  $S$  est un point fixe du sous-système rapide

Expression de la variété critique  $S$  :

$$g_1(s, r, \theta, 0) = 0$$

$$g_2(s, r, \theta, 0) = 0$$

$$s^2 = H(r) = r^2 \left( \mu^2 + \left( 1 - \frac{3\alpha r^2}{4} \right) \right)$$

$$\tan \theta = G(r)$$

# Prédiction des régimes d'oscillations - Analyse asymptotique du flot lent

$$\dot{s} = 0$$

$$\dot{r} = g_1(s, r, \theta, 0)$$

$$\dot{\theta} = g_2(s, r, \theta, 0)$$

↪ sous-système rapide

$$s' = f(s, r, \theta)$$

$$0 = g_1(s, r, \theta, \epsilon)$$

$$0 = g_2(s, r, \theta, \epsilon)$$

↪ sous-système lent

## Variété critique

$$S := \left\{ (s, r, \theta) \in \mathbb{R}^3 \mid g_1(s, r, \theta, 0) = 0 \text{ and } g_2(s, r, \theta, 0) = 0 \right\}$$

- Sous-espace de  $\mathbb{R}^3$  où évolue le système pendant les phases lentes
- Chaque point de  $S$  est un point fixe du sous-système rapide

## Expression de la variété critique $S$ :

$$g_1(s, r, \theta, 0) = 0$$

$$g_2(s, r, \theta, 0) = 0$$

$$s^2 = H(r) = r^2 \left( \mu^2 + \left( 1 - \frac{3\alpha r^2}{4} \right) \right)$$

$$\tan \theta = G(r)$$

# Prédiction des régimes d'oscillations - Analyse asymptotique du flot lent

$$\dot{s} = 0$$

$$\dot{r} = g_1(s, r, \theta, 0)$$

$$\dot{\theta} = g_2(s, r, \theta, 0)$$

→ sous-système rapide

$$s' = f(s, r, \theta)$$

$$0 = g_1(s, r, \theta, \epsilon)$$

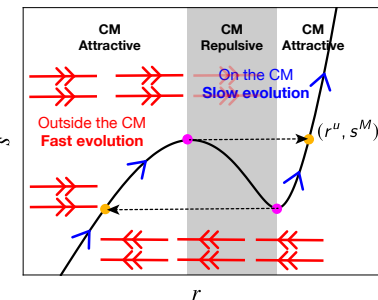
$$0 = g_2(s, r, \theta, \epsilon)$$

→ sous-système lent

Chaque point de la variété critique est un point fixe (stable ou instable) pour la dynamique rapide :

- en dehors de la variété critique : évolution à l'échelle de temps rapide vers une branche stable de la variété critique
- sur de la variété critique : évolution à l'échelle de temps lente

$$s = \sqrt{H(r)}$$



# Prédiction des régimes d'oscillations - Analyse asymptotique du flot lent

$$\dot{s} = 0$$

$$\dot{r} = g_1(s, r, \theta, 0)$$

$$\dot{\theta} = g_2(s, r, \theta, 0)$$

→ sous-système rapide

$$s' = f(s, r, \theta)$$

$$0 = g_1(s, r, \theta, \epsilon)$$

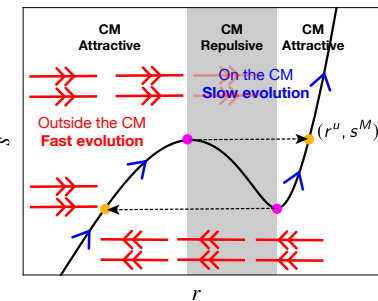
$$0 = g_2(s, r, \theta, \epsilon)$$

→ sous-système lent

Chaque point de la variété critique est un point fixe (stable ou instable) pour la dynamique rapide :

- en dehors de la variété critique : évolution à l'échelle de temps rapide vers une branche stable de la variété critique
- sur de la variété critique : évolution à l'échelle de temps lente

$$s = \sqrt{H(r)}$$



## Prédiction des régimes d'oscillation

La prédiction des régimes d'oscillations et donc de la limite d'atténuation est possible en déterminant la nature de la dynamique lente sur la variété critique.

⇒ Calcul des points fixes (et leur stabilité) du sous-système lent

# Prédiction des régimes d'oscillations - Analyse asymptotique du flot lent

## Prédiction des régimes d'oscillation

La **prédiction des régimes d'oscillations** et donc de la **limite d'atténuation** est possible en déterminant la nature de la dynamique lente sur la variété critique.

⇒ **Calcul des points fixes (et leur stabilité) du sous-système lent**

# Prédiction des régimes d'oscillations - Analyse asymptotique du flot lent

## Prédiction des régimes d'oscillation

La **prédiction des régimes d'oscillations** et donc de la **limite d'atténuation** est possible en déterminant la nature de la dynamique lente sur la variété critique.

⇒ **Calcul des points fixes (et leur stabilité) du sous-système lent**

$$\text{Sous-système lent : } s' = f(s, r, \theta)$$

$$0 = g_1(s, r, \theta, \epsilon)$$

$$0 = g_2(s, r, \theta, \epsilon)$$

# Prédiction des régimes d'oscillations - Analyse asymptotique du flot lent

## Prédiction des régimes d'oscillation

La **prédiction des régimes d'oscillations** et donc de la **limite d'atténuation** est possible en déterminant la nature de la dynamique lente sur la variété critique.

⇒ **Calcul des points fixes (et leur stabilité) du sous-système lent**

$$\text{Sous-système lent : } s' = f(s, r, \theta)$$

$$0 = g_1(s, r, \theta, \epsilon)$$

$$0 = g_2(s, r, \theta, \epsilon)$$

$$s' = f(s, r, \theta) \Rightarrow \underbrace{s = H(r)}_{\text{Variété Critique}} \text{ et } \theta = G(r) \Rightarrow r' = f(r)$$

# Prédiction des régimes d'oscillations - Analyse asymptotique du flot lent

## Prédiction des régimes d'oscillation

La **prédiction des régimes d'oscillations** et donc de la **limite d'atténuation** est possible en déterminant la nature de la dynamique lente sur la variété critique.

⇒ **Calcul des points fixes (et leur stabilité) du sous-système lent**

$$\text{Sous-système lent : } s' = f(s, r, \theta)$$

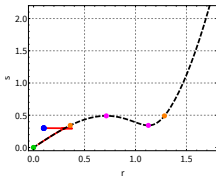
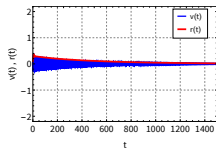
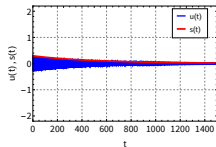
$$0 = g_1(s, r, \theta, \epsilon)$$

$$0 = g_2(s, r, \theta, \epsilon)$$

$$s' = f(s, r, \theta) \Rightarrow \underbrace{s = H(r)}_{\text{Variété Critique}} \text{ et } \theta = G(r) \Rightarrow r' = f(r)$$

Points fixes de la dynamique lente :  $f(r) = 0$  + Étude de stabilité

- points fixes stables
- points fixes instables
- point de saut
- point d'arrivée
- condition initiale

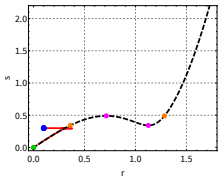
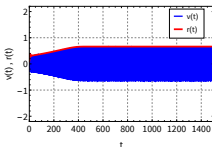
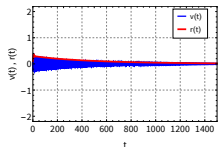
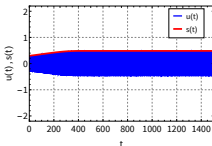
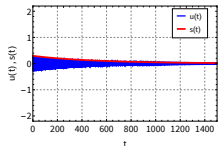


## Stabilisation

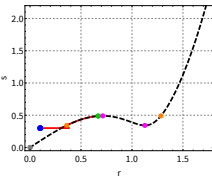
Instabilité atténuee

Instabilité non atténée

- points fixes stables
- points fixes instables
- point de saut
- point d'arrivée
- condition initiale



**Stabilisation**

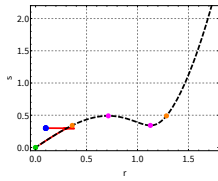
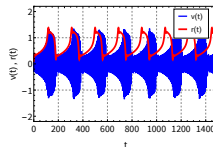
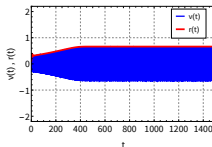
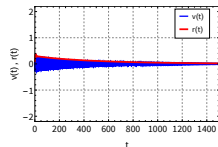
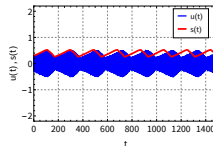
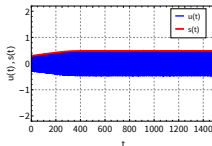
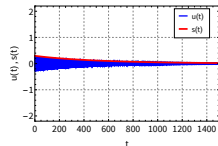


**Régimes périodiques**

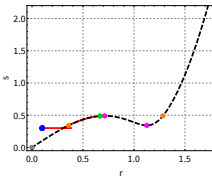
**Instabilité atténuee**

**Instabilité non atténée**

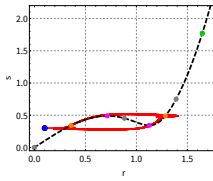
- points fixes stables
- points fixes instables
- point de saut
- point d'arrivée
- condition initiale



Stabilisation



Régimes périodiques

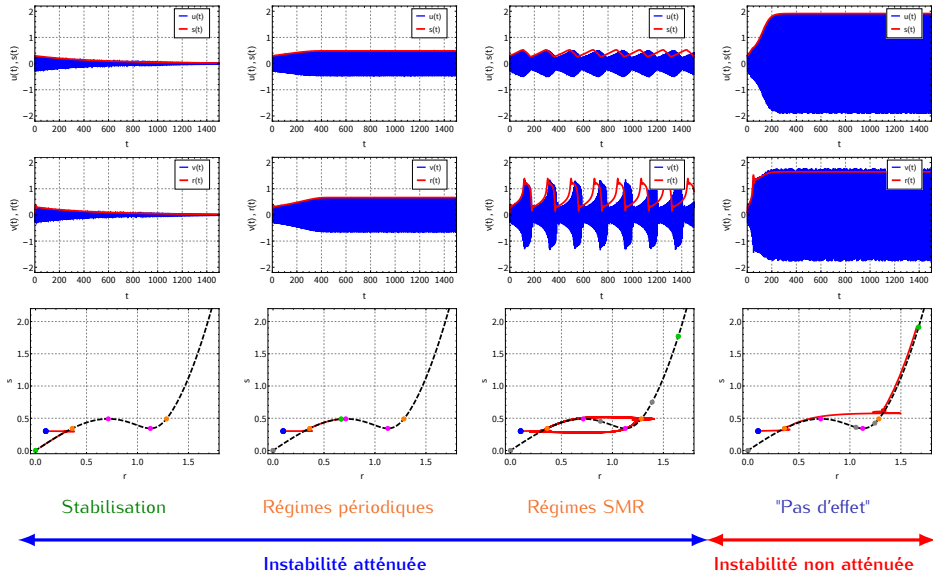


Régimes SMR

Instabilité atténée

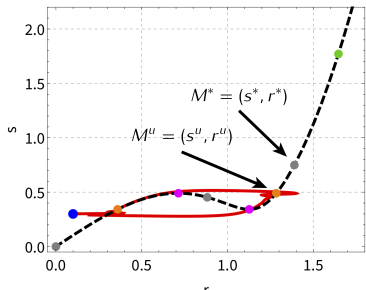
Instabilité non atténée

- points fixes stables
- points fixes instables
- point de saut
- point d'arrivée
- condition initiale

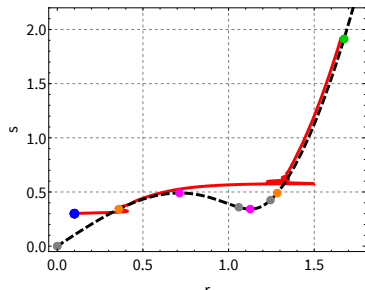


# Prédiction des régimes d'oscillations - Analyse asymptotique du flot lent

- position d'équilibre stable
- position d'équilibre instable
- condition initiale
- point de saut
- point d'arrivée



Instabilité atténuee



Instabilité non atténuee

## Limite d'atténuation

- Critère pour que l'instabilité soit atténuée :  $r^u < r^*$
- **Limite d'atténuation :** valeur du paramètre de bifurcation choisi (ici  $\rho$ ) correspondant au passage de  $r^u < r^*$  (instabilité atténuée) à  $r^u > r^*$  (instabilité non atténuee)

# Plan

① Introduction et résultats préliminaires

② Systèmes instables couplés à  $M$  NESs

Oscillateur de Van der Pol couplé à réseau de  $M$  NESs en parallèle  
Système Primaire à  $N$  DDLs couplé à un ensemble de  $M$  NESs

③ Conclusion

# Plan

## ① Introduction et résultats préliminaires

Absorbeurs dynamique non linéaires de type « NES »

NES pour atténuer une instabilité vibratoire

Prédiction des régimes d'oscillation: cas d'un Van der Pol couplé à un NES

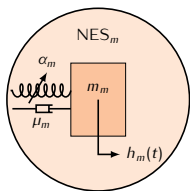
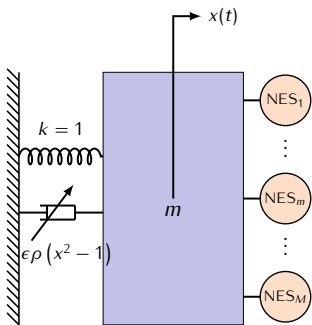
## ② Systèmes instables couplés à $M$ NESs

Oscillateur de Van der Pol couplé à réseau de  $M$  NESs en parallèle

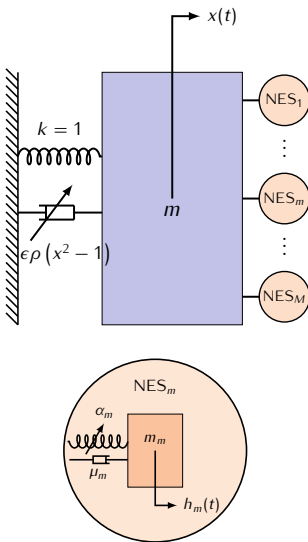
Système Primaire à  $N$  DDLs couplé à un ensemble de  $M$  NESs

## ③ Conclusion

[B. Bergeot et S. Bellizzi, "Asymptotic analysis of passive mitigation of dynamic instability using a nonlinear energy sink network", *Nonlinear dynamics*]



[B. Bergeot et S. Bellizzi, "Asymptotic analysis of passive mitigation of dynamic instability using a nonlinear energy sink network", *Nonlinear dynamics*]



### Oscillateur de Van der Pol + $M$ ungrounded NESs

Équations du mouvement :

$$\ddot{x} + \epsilon \rho (x^2 - 1) \dot{x} + x + \sum_{m=1}^N [\epsilon \mu_m (\dot{x} - \dot{h}_m) + \epsilon \alpha_m (x - h_m)^3] = 0$$

$$\epsilon a_m \ddot{h}_m - \epsilon \mu_m (\dot{x} - \dot{h}_m) - \epsilon \alpha_m (x - h_m)^3 = 0$$

for  $m = 1, \dots, M$

# Calcul de flot lent

⇒ Passage en coordonnées barycentrique

$$u = x + \epsilon \sum_{m=1}^M a_m h_m \quad v_m = x - h_m, \quad \text{pour } m = 1, \dots, M$$

⇒ Méthode de complexification-moyennage (calcul du flot lent)

$$\psi = \dot{u} + ju$$

$$\psi = \phi e^{it}$$

$$\zeta_m = \dot{v}_m + j v_m, \quad \text{pour } m = 1, \dots, M$$

$$\zeta_m = \xi_m e^{it}, \quad \text{pour } m = 1, \dots, M$$

Expression finale du flot lent en variable réelle

$$\begin{aligned}\dot{s} &= \epsilon f(s, r, \vartheta) \\ \dot{r} &= g(s, r, \vartheta, \epsilon) \\ \dot{\vartheta} &= h(s, r, \vartheta, \epsilon)\end{aligned}$$

avec  $\phi = s e^{j\delta}$      $\xi = \text{diag} \left( e^{j\theta_m} \right) r$   
 et  $r = (r_1, \dots, r_M)^T$      $\vartheta = (\vartheta_1, \dots, \vartheta_M)^T$      $\vartheta_m = \theta_m - \delta$

Le flot lent est un système **lent-rapide** avec  
 1 variable lente  $s$  et  $2M$  variables rapides  $r_m$  et  $\vartheta_m$  ( $m = 1, \dots, M$ )

# Calcul de flot lent

⇒ Passage en coordonnées barycentrique

$$u = x + \epsilon \sum_{m=1}^M a_m h_m \quad v_m = x - h_m, \quad \text{pour } m = 1, \dots, M$$

⇒ Méthode de complexification-moyennage (calcul du flot lent)

$$\dot{\psi} = \dot{u} + ju$$

$$\psi = \phi e^{it}$$

$$\zeta_m = \dot{v}_m + jv_m, \quad \text{pour } m = 1, \dots, M$$

$$\zeta_m = \xi_m e^{it}, \quad \text{pour } m = 1, \dots, M$$

Expression finale du flot lent en variable réelle

$$\begin{aligned}\dot{s} &= \epsilon f(s, \mathbf{r}, \vartheta) \\ \dot{\mathbf{r}} &= \mathbf{g}(s, \mathbf{r}, \vartheta, \epsilon) \\ \dot{\vartheta} &= \mathbf{h}(s, \mathbf{r}, \vartheta, \epsilon)\end{aligned}$$

avec  $\phi = se^{j\delta}$      $\xi = \text{diag} \left( e^{j\theta_m} \right) \mathbf{r}$

et  $\mathbf{r} = (r_1, \dots, r_M)^T$      $\vartheta = (\vartheta_1, \dots, \vartheta_M)^T$      $\vartheta_m = \theta_m - \delta$

Le flot lent est un système **lent-rapide** avec  
1 variable lente  $s$  et  $2M$  variables rapides  $r_m$  et  $\vartheta_m$  ( $m = 1, \dots, M$ )

# Calcul de flot lent

⇒ Passage en coordonnées barycentrique

$$u = x + \epsilon \sum_{m=1}^M a_m h_m \quad v_m = x - h_m, \quad \text{pour } m = 1, \dots, M$$

⇒ Méthode de complexification-moyennage (calcul du flot lent)

$$\psi = \dot{u} + ju$$

$$\psi = \phi e^{it}$$

$$\zeta_m = \dot{v}_m + j v_m, \quad \text{pour } m = 1, \dots, M$$

$$\zeta_m = \xi_m e^{it}, \quad \text{pour } m = 1, \dots, M$$

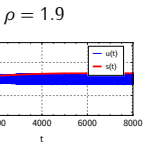
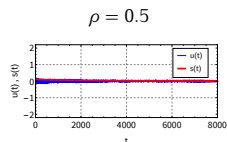
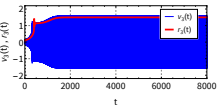
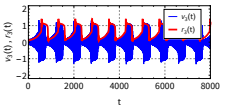
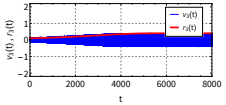
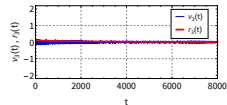
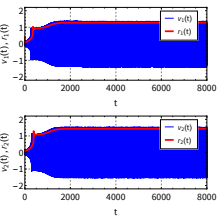
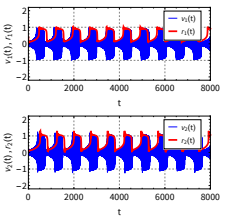
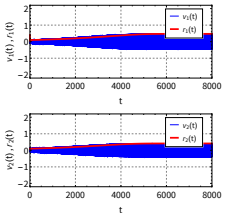
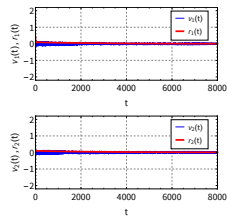
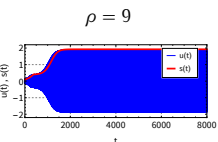
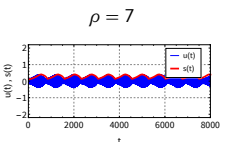
Expression finale du flot lent en variable réelle

$$\begin{aligned}\dot{s} &= \epsilon f(s, r, \vartheta) \\ \dot{r} &= g(s, r, \vartheta, \epsilon) \\ \dot{\vartheta} &= h(s, r, \vartheta, \epsilon)\end{aligned}$$

avec  $\phi = se^{j\delta}$      $\xi = \text{diag} \left( e^{j\theta_m} \right) r$

et  $r = (r_1, \dots, r_M)^T$      $\vartheta = (\vartheta_1, \dots, \vartheta_M)^T$      $\vartheta_m = \theta_m - \delta$

Le flot lent est un système **lent-rapide** avec  
1 variable lente  $s$  et  $2M$  variables rapides  $r_m$  et  $\vartheta_m$  ( $m = 1, \dots, M$ )

**Système initiale (en variables  $u$  et  $v$ )****Flot lent ( $s$  et  $r_m$  pour  $m = 1, \dots, M$ )****Stabilisation****Régimes périodiques****SMR****"Pas d'effet"****Instabilité atténuee****Instabilité non atténuee**

# La variété critique

$$\begin{aligned}\dot{s} &= 0 \\ \dot{r} &= g(s, r, \vartheta, 0) \\ \dot{\vartheta} &= h(s, r, \vartheta, 0)\end{aligned}$$

↪ sous-système rapide

$$\begin{aligned}s' &= f(s, r, \vartheta) \\ 0 &= g(s, r, \vartheta, \epsilon) \\ 0 &= h(s, r, \vartheta, \epsilon)\end{aligned}$$

↪ sous-système lent

## Variété critique

$$S := \left\{ (s, r, \vartheta) \in \mathbb{R}^{2M+1} \mid g(s, r, \vartheta, 0) = 0, h(s, r, \vartheta, 0) = 0 \right\}$$

$$s^2 = H_m(r_m) = r_m^2 \left( \left( \frac{\mu_m}{a_m} \right)^2 + \left( 1 - \frac{3\alpha_m r_m^2}{4a_m} \right) \right) \Rightarrow H_n(r_n) = H_m(r_m)$$

$$\vartheta_m = G_m(r_m) \quad \text{avec } n = 1, \dots, M \text{ et } m = 1, \dots, M$$

- Sous-espace **unidimensionnelle** de  $\mathbb{R} \times \mathbb{R}^M \times \mathbb{R}^M$  où évolue le système pendant les phases lentes
- Chaque point de  $S$  est un point fixe du sous-système rapide

# La variété critique

$$\begin{aligned}\dot{s} &= 0 \\ \dot{r} &= g(s, r, \vartheta, 0) \\ \dot{\vartheta} &= h(s, r, \vartheta, 0)\end{aligned}$$

↪ sous-système rapide

$$\begin{aligned}s' &= f(s, r, \vartheta) \\ 0 &= g(s, r, \vartheta, \epsilon) \\ 0 &= h(s, r, \vartheta, \epsilon)\end{aligned}$$

↪ sous-système lent

## Variété critique

$$S := \left\{ (s, r, \vartheta) \in \mathbb{R}^{2M+1} \mid g(s, r, \vartheta, 0) = 0, h(s, r, \vartheta, 0) = 0 \right\}$$

$$s^2 = H_m(r_m) = r_m^2 \left( \left( \frac{\mu_m}{a_m} \right)^2 + \left( 1 - \frac{3\alpha_m r_m^2}{4a_m} \right) \right) \Rightarrow H_n(r_n) = H_m(r_m)$$

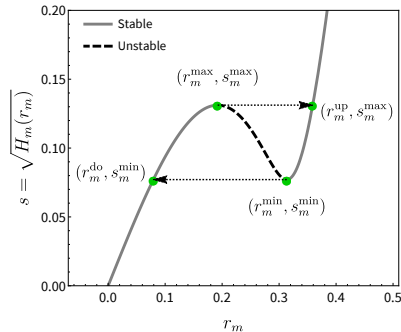
$$\vartheta_m = G_m(r_m) \quad \text{avec } n = 1, \dots, M \text{ et } m = 1, \dots, M$$

- Sous-espace **unidimensionnelle** de  $\mathbb{R} \times \mathbb{R}^M \times \mathbb{R}^M$  où évolue le système pendant les phases lentes
- Chaque point de  $S$  est un point fixe du sous-système rapide

# La variété critique

$$s^2 = H_m(r_m) = r_m^2 \left( \left( \frac{\mu_m}{a_m} \right)^2 + \left( 1 - \frac{3\alpha_m r^2}{4a_m} \right) \right)$$

$$\vartheta_m = G_m(r_m) \quad (m = 1, \dots, M)$$



## Domaine de stabilité de $S$

$$D_m = [0 \ r_m^{\max}] \cup [r_m^{\min} \ + \infty) \text{ avec } \dim(D_m) = 1 \quad \Rightarrow \quad D = \prod_{m=1}^M D_m$$

$$D = \prod_{m=1}^M D_m \text{ avec } \dim(D) = M$$

## Domaine de stabilité de $S$

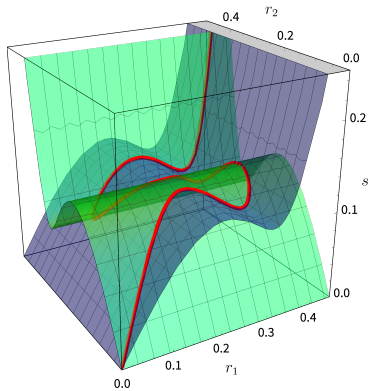
$$D = \prod_{m=1}^M D_m \quad \Rightarrow \quad D = \bigcup_{k=1}^{2^M} I_k \quad \text{avec } \dim(I_k) = M$$

## Domaine de stabilité de $S$

$$D = \prod_{m=1}^M D_m \quad \Rightarrow \quad D = \bigcup_{k=1}^{2^M} I_k \quad \text{avec } \dim(I_k) = M$$

Exemple de variété critique pour  $M = 2$  ( $2^M = 4$ )

Dans  $(s, r_1, r_2)$



Expression de la variété critique :

$$\begin{aligned}s^2 &= H_1(r_1) \\ s^2 &= H_2(r_2)\end{aligned}$$

FIGURE :

$$\begin{aligned}s &= \sqrt{H_1(r_1)} \\ s &= \sqrt{H_2(r_2)}\end{aligned}$$

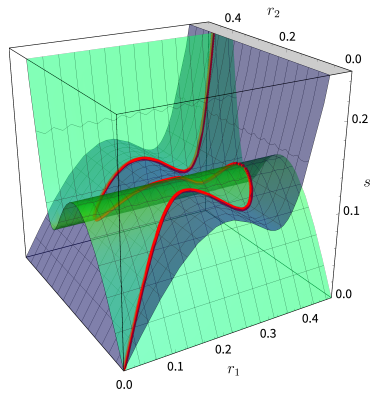
Variété critique

## Domaine de stabilité de $S$

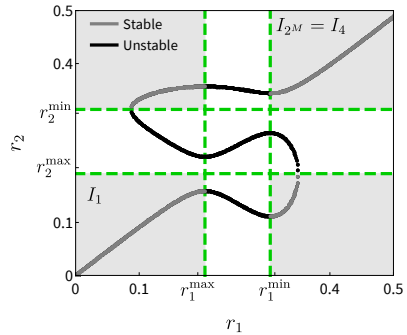
$$D = \prod_{m=1}^M D_m \quad \Rightarrow \quad D = \bigcup_{k=1}^{2^M} I_k \quad \text{avec } \dim(I_k) = M$$

Exemple de variété critique pour  $M = 2$  ( $2^M = 4$ )

Dans  $(s, r_1, r_2)$



Dans  $(r_1, r_2)$



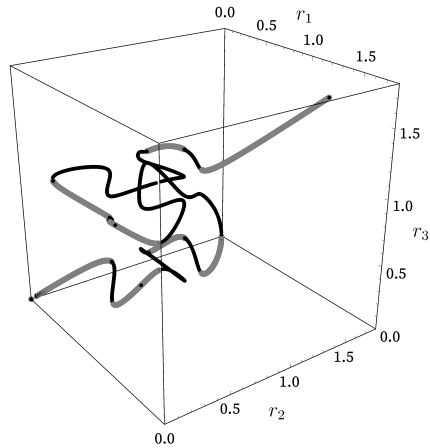
## La variété critique

Exemple de variété critique pour  $M = 3$  ( $2^M = 8$ )

## Domaine de stabilité de $S$

$$D = \bigcap_{m=1}^M D_m$$

$$\Rightarrow D = \bigcup_{k=1}^{2^M} I_k$$



# Prédiction des régimes d'oscillations

## Prédiction des régimes d'oscillation

Même principe que dans le cas avec 1 NES : la prédiction des régimes d'oscillations est possible par l'analyse de la dynamique lente.

# Prédiction des régimes d'oscillations

## Prédiction des régimes d'oscillation

Même principe que dans le cas avec 1 NES : la prédiction des régimes d'oscillations est possible par l'analyse de la dynamique lente.

Sous-système lent :  $s' = f(s, r, \vartheta)$   
 $0 = g(s, r, \vartheta, \epsilon)$   
 $0 = h(s, r, \vartheta, \epsilon)$

# Prédiction des régimes d'oscillations

## Prédiction des régimes d'oscillation

Même principe que dans le cas avec 1 NES : la prédiction des régimes d'oscillations est possible par l'analyse de la dynamique lente.

Sous-système lent :  $s' = f(s, r, \vartheta)$

$$0 = g(s, r, \vartheta, \epsilon)$$

$$0 = h(s, r, \vartheta, \epsilon)$$

$$s' = f(s, r, \vartheta) \Rightarrow \underbrace{s = H_m(r_m)}_{\text{Variété Critique}} \text{ et } \vartheta_m = G_m(r_m) \Rightarrow$$

$$\boxed{\begin{aligned} r'_1 &= f(r_1, \dots, r_M) \\ H_1(r_1) &= H_m(r_m) \quad (m = 2, \dots, M) \end{aligned}}$$

# Prédiction des régimes d'oscillations

## Prédiction des régimes d'oscillation

Même principe que dans le cas avec 1 NES : la prédiction des régimes d'oscillations est possible par l'analyse de la dynamique lente.

Sous-système lent :  $s' = f(s, r, \vartheta)$

$$0 = g(s, r, \vartheta, \epsilon)$$

$$0 = h(s, r, \vartheta, \epsilon)$$

$$s' = f(s, r, \vartheta) \Rightarrow \underbrace{s = H_m(r_m)}_{\text{Variété Critique}} \text{ et } \vartheta_m = G_m(r_m) \Rightarrow$$

$$r'_1 = f(r_1, \dots, r_M)$$

$$H_1(r_1) = H_m(r_m) \quad (m = 2, \dots, M)$$

Points fixes de la dynamique lente :

$$f(r_1, \dots, r_M) = 0 \quad \text{avec} \quad H_1(r_1) = H_m(r_m) \quad (m = 2, \dots, M)$$

+ Étude de stabilité

# Prédiction des régimes d'oscillations

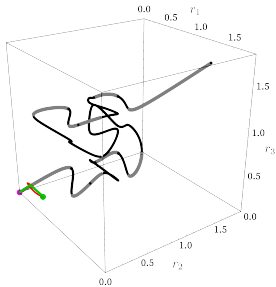
## Prédiction des régimes d'oscillation

Même principe que dans le cas avec 1 NES : la prédiction des régimes d'oscillations est possible par l'analyse de la dynamique lente.

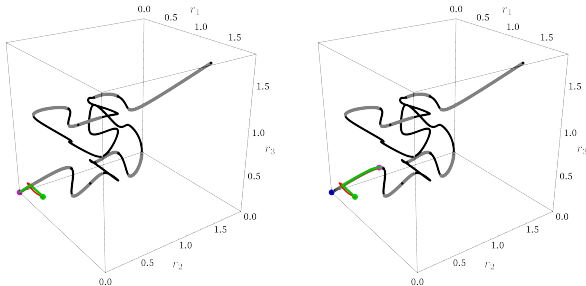
## Outils pour la prédiction des régimes d'oscillation

- ⇒ La variété critique  $S$
- ⇒ La dynamique lente sur  $S$ 
  - Les points fixes du sous système lent et leur stabilité
  - La fonction  $f(r_1, \dots, r_M)$

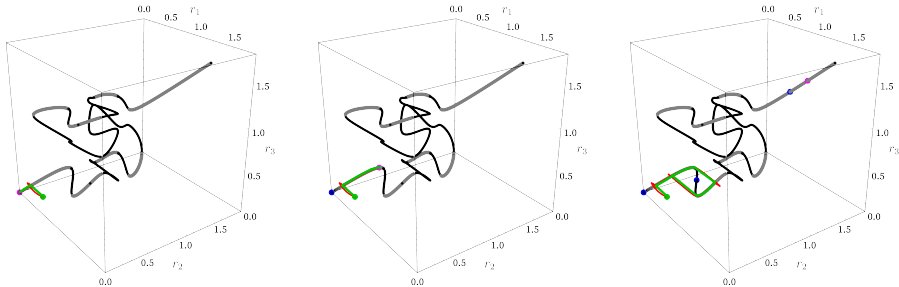
Exemple avec 3 NESs : • points fixes **stables** • ● points fixes **instables**  
● condition initiale — Trajectoire théorique — Trajectoire numérique



Exemple avec 3 NESs :    ● points fixes **stables**    ● points fixes **instables**  
● condition initiale    — Trajectoire théorique    — Trajectoire numérique

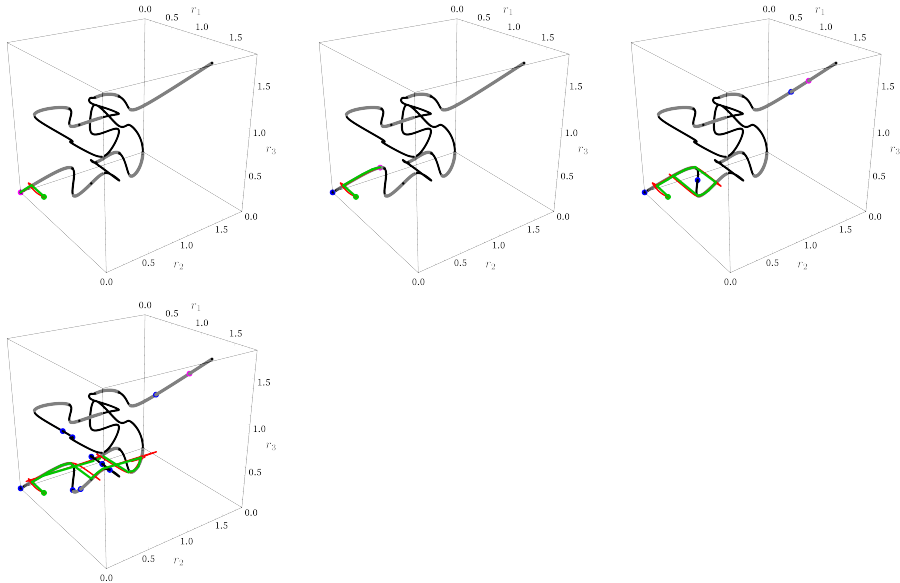


Exemple avec 3 NESs : • points fixes **stables** • points fixes **instables**  
● condition initiale — Trajectoire théorique — Trajectoire numérique



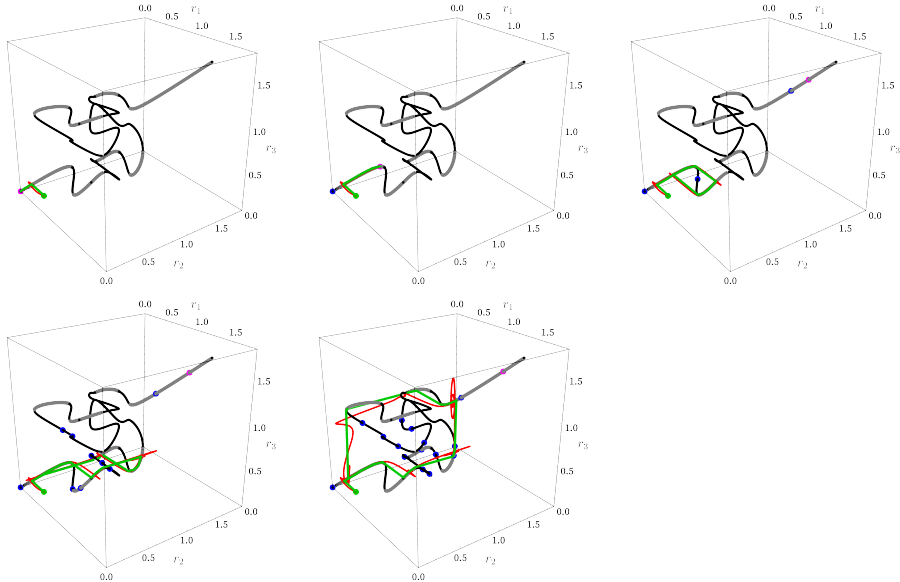
**Exemple avec 3 NESs :**

- points fixes **stables**
- points fixes **instables**
- condition initiale
- Trajectoire théorique
- Trajectoire numérique



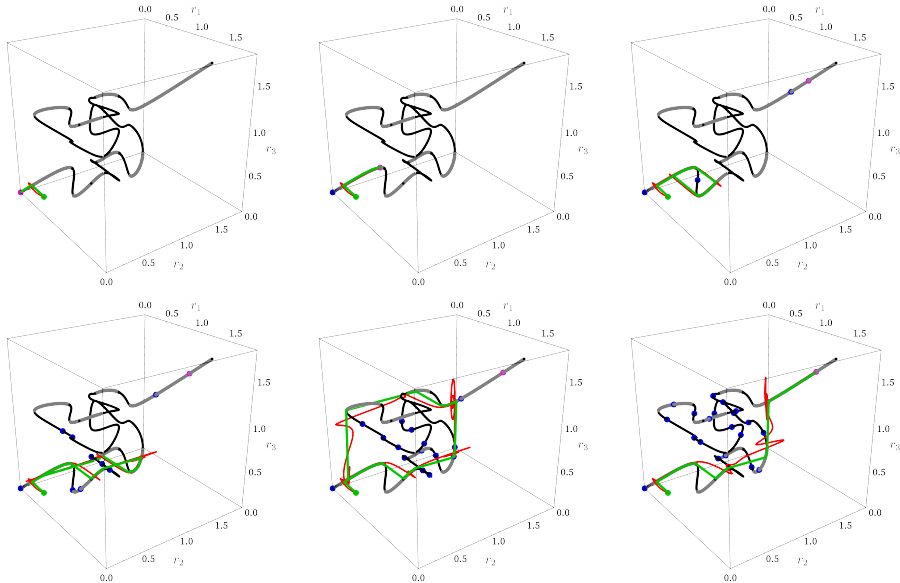
**Exemple avec 3 NESs :**

- points fixes **stables**
- points fixes **instables**
- condition initiale
- Trajectoire théorique
- Trajectoire numérique



**Exemple avec 3 NESs :**

- points fixes **stables**
- points fixes **instables**
- condition initiale
- Trajectoire théorique
- Trajectoire numérique



# Plan

## ① Introduction et résultats préliminaires

Absorbeurs dynamique non linéaires de type « NES »

NES pour atténuer une instabilité vibratoire

Prédiction des régimes d'oscillation: cas d'un Van der Pol couplé à un NES

## ② Systèmes instables couplés à $M$ NESs

Oscillateur de Van der Pol couplé à réseau de  $M$  NESs en parallèle

Système Primaire à  $N$  DDLs couplé à un ensemble de  $M$  NESs

## ③ Conclusion

[B. Bergeot et S. Bellizzi, "Steady-state regimes prediction of a multi-degree-of-freedom unstable dynamical system coupled to a set of nonlinear energy sinks", soumis Mechanical Systems and Signal Processing]

- Équations du mouvement :

$$\begin{aligned}\tilde{\mathbf{M}}\ddot{\tilde{\mathbf{x}}} + \tilde{\mathbf{C}}\dot{\tilde{\mathbf{x}}} + \tilde{\mathbf{K}}\tilde{\mathbf{x}} + \tilde{\mathbf{G}}\mathbf{g}^{\text{NL}}(\tilde{\mathbf{x}}) + \tilde{\mathbf{B}} \left( \text{diag}(\tilde{c}_{h_m}) \left( T\dot{\tilde{\mathbf{x}}} - \dot{\tilde{\mathbf{h}}} \right) + \text{diag}(\tilde{\lambda}_{h_m}) \mathbf{f}^{\text{NL}}(T\tilde{\mathbf{x}} - \tilde{\mathbf{h}}) \right) &= 0 \\ \text{diag}(\tilde{m}_{h_m})\ddot{\tilde{\mathbf{h}}} - \left( \text{diag}(\tilde{c}_{h_m}) \left( T\dot{\tilde{\mathbf{x}}} - \dot{\tilde{\mathbf{h}}} \right) + \text{diag}(\tilde{\lambda}_{h_m}) \mathbf{f}^{\text{NL}}(T\tilde{\mathbf{x}} - \tilde{\mathbf{h}}) \right) &= 0\end{aligned}$$

- Sous forme adimensionnée :

$$\begin{aligned}\ddot{\mathbf{x}} + \mathbf{C}\dot{\mathbf{x}} + \mathbf{K}\mathbf{x} + \epsilon \mathbf{G}\mathbf{g}^{\text{NL}}(\mathbf{x}) + \epsilon \mathbf{B}\ddot{\mathbf{h}} &= 0 \\ \epsilon \ddot{\mathbf{h}} - \left( \epsilon \text{diag}(\gamma_{h_m})(T\dot{\mathbf{x}} - \dot{\mathbf{h}}) + \epsilon \text{diag}(\alpha_{h_m}) \mathbf{f}^{\text{NL}}(T\mathbf{x} - \mathbf{h}) \right) &= 0\end{aligned}$$

- Hypothèse : le système primaire n'a qu'un seul mode instable  
⇒ Réduction de la dynamique du système primaire par transformation bi-normale qui permet de ne conserver que le mode instable

[B. Bergeot et S. Bellizzi, "Steady-state regimes prediction of a multi-degree-of-freedom unstable dynamical system coupled to a set of nonlinear energy sinks", soumis Mechanical Systems and Signal Processing]

- Équations du mouvement :

$$\begin{aligned}\tilde{\mathbf{M}}\ddot{\tilde{\mathbf{x}}} + \tilde{\mathbf{C}}\dot{\tilde{\mathbf{x}}} + \tilde{\mathbf{K}}\tilde{\mathbf{x}} + \tilde{\mathbf{G}}\mathbf{g}^{\text{NL}}(\tilde{\mathbf{x}}) + \tilde{\mathbf{B}} \left( \text{diag}(\tilde{c}_{h_m}) \left( T\dot{\tilde{\mathbf{x}}} - \dot{\tilde{\mathbf{h}}} \right) + \text{diag}(\tilde{\lambda}_{h_m}) \mathbf{f}^{\text{NL}} \left( T\tilde{\mathbf{x}} - \tilde{\mathbf{h}} \right) \right) &= \mathbf{0} \\ \text{diag}(\tilde{m}_{h_m})\ddot{\tilde{\mathbf{h}}} - \left( \text{diag}(\tilde{c}_{h_m}) \left( T\dot{\tilde{\mathbf{x}}} - \dot{\tilde{\mathbf{h}}} \right) + \text{diag}(\tilde{\lambda}_{h_m}) \mathbf{f}^{\text{NL}} \left( T\tilde{\mathbf{x}} - \tilde{\mathbf{h}} \right) \right) &= \mathbf{0}\end{aligned}$$

- Sous forme adimensionnée :

$$\begin{aligned}\ddot{\mathbf{x}} + \mathbf{C}\dot{\mathbf{x}} + \mathbf{K}\mathbf{x} + \epsilon \mathbf{G}\mathbf{g}^{\text{NL}}(\mathbf{x}) + \epsilon \mathbf{B}\ddot{\mathbf{h}} &= \mathbf{0} \\ \epsilon \ddot{\mathbf{h}} - \left( \epsilon \text{diag}(\gamma_{h_m})(T\dot{\mathbf{x}} - \dot{\mathbf{h}}) + \epsilon \text{diag}(\alpha_{h_m}) \mathbf{f}^{\text{NL}}(T\mathbf{x} - \mathbf{h}) \right) &= \mathbf{0}\end{aligned}$$

- Hypothèse : le système primaire n'a qu'un seul mode instable

⇒ Réduction de la dynamique du système primaire par transformation bi-normale qui permet de ne conserver que le mode instable

[B. Bergeot et S. Bellizzi, "Steady-state regimes prediction of a multi-degree-of-freedom unstable dynamical system coupled to a set of nonlinear energy sinks", *soumis Mechanical Systems and Signal Processing*]

- Équations du mouvement :

$$\begin{aligned}\tilde{\mathbf{M}}\ddot{\tilde{\mathbf{x}}} + \tilde{\mathbf{C}}\dot{\tilde{\mathbf{x}}} + \tilde{\mathbf{K}}\tilde{\mathbf{x}} + \tilde{\mathbf{G}}\mathbf{g}^{\text{NL}}(\tilde{\mathbf{x}}) + \tilde{\mathbf{B}} \left( \text{diag}(\tilde{c}_{h_m}) \left( T\dot{\tilde{\mathbf{x}}} - \dot{\tilde{\mathbf{h}}} \right) + \text{diag}(\tilde{\lambda}_{h_m}) \mathbf{f}^{\text{NL}} \left( T\tilde{\mathbf{x}} - \tilde{\mathbf{h}} \right) \right) &= \mathbf{0} \\ \text{diag}(\tilde{m}_{h_m})\ddot{\tilde{\mathbf{h}}} - \left( \text{diag}(\tilde{c}_{h_m}) \left( T\dot{\tilde{\mathbf{x}}} - \dot{\tilde{\mathbf{h}}} \right) + \text{diag}(\tilde{\lambda}_{h_m}) \mathbf{f}^{\text{NL}} \left( T\tilde{\mathbf{x}} - \tilde{\mathbf{h}} \right) \right) &= \mathbf{0}\end{aligned}$$

- Sous forme adimensionnée :

$$\begin{aligned}\ddot{\mathbf{x}} + \mathbf{C}\dot{\mathbf{x}} + \mathbf{K}\mathbf{x} + \epsilon \mathbf{G}\mathbf{g}^{\text{NL}}(\mathbf{x}) + \epsilon \mathbf{B}\ddot{\mathbf{h}} &= \mathbf{0} \\ \epsilon \ddot{\mathbf{h}} - \left( \epsilon \text{diag}(\gamma_{h_m})(T\dot{\mathbf{x}} - \dot{\mathbf{h}}) + \epsilon \text{diag}(\alpha_{h_m}) \mathbf{f}^{\text{NL}}(T\mathbf{x} - \mathbf{h}) \right) &= \mathbf{0}\end{aligned}$$

- Hypothèse : le système primaire n'a qu'un seul mode instable

⇒ Réduction de la dynamique du système primaire par transformation bi-normale qui permet de ne conserver que le mode instable

[B. Bergeot et S. Bellizzi, "Steady-state regimes prediction of a multi-degree-of-freedom unstable dynamical system coupled to a set of nonlinear energy sinks", soumis *Mechanical Systems and Signal Processing*]

- Équations du mouvement :

$$\begin{aligned}\tilde{\mathbf{M}}\ddot{\tilde{\mathbf{x}}} + \tilde{\mathbf{C}}\dot{\tilde{\mathbf{x}}} + \tilde{\mathbf{K}}\tilde{\mathbf{x}} + \tilde{\mathbf{G}}\mathbf{g}^{\text{NL}}(\tilde{\mathbf{x}}) + \tilde{\mathbf{B}} \left( \text{diag}(\tilde{c}_{h_m}) \left( T\dot{\tilde{\mathbf{x}}} - \dot{\tilde{\mathbf{h}}} \right) + \text{diag}(\tilde{\lambda}_{h_m}) \mathbf{f}^{\text{NL}} \left( T\tilde{\mathbf{x}} - \tilde{\mathbf{h}} \right) \right) &= \mathbf{0} \\ \text{diag}(\tilde{m}_{h_m})\ddot{\tilde{\mathbf{h}}} - \left( \text{diag}(\tilde{c}_{h_m}) \left( T\dot{\tilde{\mathbf{x}}} - \dot{\tilde{\mathbf{h}}} \right) + \text{diag}(\tilde{\lambda}_{h_m}) \mathbf{f}^{\text{NL}} \left( T\tilde{\mathbf{x}} - \tilde{\mathbf{h}} \right) \right) &= \mathbf{0}\end{aligned}$$

- Sous forme adimensionnée :

$$\begin{aligned}\ddot{\mathbf{x}} + \mathbf{C}\dot{\mathbf{x}} + \mathbf{K}\mathbf{x} + \epsilon \mathbf{G}\mathbf{g}^{\text{NL}}(\mathbf{x}) + \epsilon \mathbf{B}\ddot{\mathbf{h}} &= \mathbf{0} \\ \epsilon \ddot{\mathbf{h}} - \left( \epsilon \text{diag}(\gamma_{h_m})(T\dot{\mathbf{x}} - \dot{\mathbf{h}}) + \epsilon \text{diag}(\alpha_{h_m}) \mathbf{f}^{\text{NL}}(T\mathbf{x} - \mathbf{h}) \right) &= \mathbf{0}\end{aligned}$$

- Hypothèse : le système primaire n'a qu'un seul mode instable
  - ⇒ Réduction de la dynamique du système primaire par transformation bi-normale qui permet de ne conserver que le mode instable

# Le flot lent

## Expression finale du flot lent en variable réelle

Même forme que dans le cas d'1 DDL couplé à  $M$  NESs en parallèle

# Le flot lent

## Expression finale du flot lent en variable réelle

Même forme que dans le cas d'1 DDL couplé à  $M$  NESs en parallèle

$$\begin{aligned}\dot{s} &= \epsilon f(s, \mathbf{r}, \vartheta) \\ \dot{\mathbf{r}} &= \mathbf{g}(s, \mathbf{r}, \vartheta, \epsilon) \\ \dot{\vartheta} &= \mathbf{h}(s, \mathbf{r}, \vartheta, \epsilon)\end{aligned}$$

avec  $\phi = se^{j\delta}$   $\xi = \text{diag} \left( e^{j\theta_m} \right) \mathbf{r}$   
 et  $\mathbf{r} = (r_1, \dots, r_M)^T$   $\vartheta = (\vartheta_1, \dots, \vartheta_M)^T$   $\vartheta_m = \theta_m - \delta$

Le flot lent est un système **lent-rapide** avec  
**1 variable lente  $s$  et  $2M$  variables rapides  $r_m$  et  $\vartheta_m$  ( $m = 1, \dots, M$ )**

# La variété critique

## Variété critique

$$S := \left\{ (s, r, \vartheta) \in \mathbb{R}^{2M+1} \mid g(s, r, \vartheta, 0) = 0, h(s, r, \vartheta, 0) = 0 \right\}$$

$$s^2 = \frac{H_m(r_m)}{|B_m|^2} = \left( \frac{\omega r_m}{|B_m|} \right)^2 \left( \left( \frac{\gamma_{h_m}}{\omega} \right)^2 + \left( 1 - \frac{3\alpha_{h_m} r_m^2}{4\omega^4} \right) \right)$$

$$\vartheta_m = G_m(r_m) \quad (m = 1, \dots, M)$$

$B_m$  : constante dépendante des paramètres du système primaire

# La variété critique

## Variété critique

$$S := \left\{ (s, r, \vartheta) \in \mathbb{R}^{2M+1} \mid g(s, r, \vartheta, 0) = 0, h(s, r, \vartheta, 0) = 0 \right\}$$

$$\begin{aligned} s^2 &= \frac{H_m(r_m)}{|B_m|^2} = \left( \frac{\omega r_m}{|B_m|} \right)^2 \left( \left( \frac{\gamma_{h_m}}{\omega} \right)^2 + \left( 1 - \frac{3\alpha_{h_m} r_m^2}{4\omega^4} \right) \right) \\ \vartheta_m &= G_m(r_m) \quad (m = 1, \dots, M) \end{aligned}$$

$B_m$  : constante dépendante des paramètres du système primaire

- Sous-espace **unidimensionnelle** de  $\mathbb{R} \times \mathbb{R}^M \times \mathbb{R}^M$  où évolue le système pendant les phases lentes
- Chaque point de  $S$  est un point fixe du sous-système rapide

# La variété critique

## Variété critique

$$S := \left\{ (s, r, \vartheta) \in \mathbb{R}^{2M+1} \mid g(s, r, \vartheta, 0) = 0, h(s, r, \vartheta, 0) = 0 \right\}$$

$$\begin{aligned} s^2 &= \frac{H_m(r_m)}{|B_m|^2} = \left( \frac{\omega r_m}{|B_m|} \right)^2 \left( \left( \frac{\gamma_{h_m}}{\omega} \right)^2 + \left( 1 - \frac{3\alpha_{h_m} r_m^2}{4\omega^4} \right) \right) \\ \vartheta_m &= G_m(r_m) \quad (m = 1, \dots, M) \end{aligned}$$

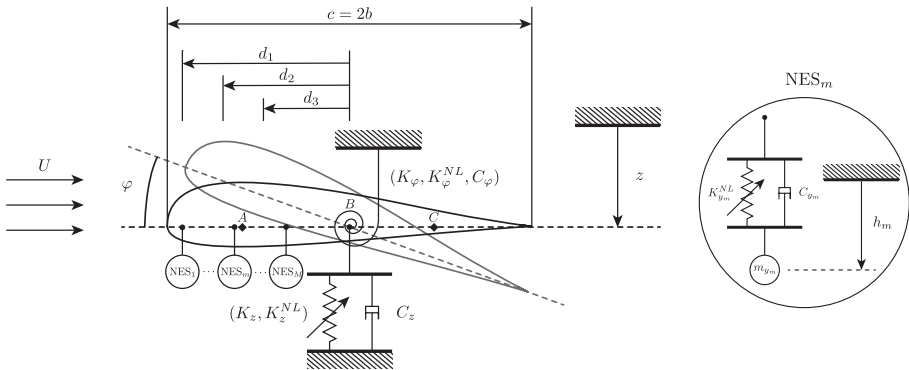
$B_m$  : constante dépendante des paramètres du système primaire

- Sous-espace **unidimensionnelle** de  $\mathbb{R} \times \mathbb{R}^M \times \mathbb{R}^M$  où évolue le système pendant les phases lentes
- Chaque point de  $S$  est un point fixe du sous-système rapide

## Prédiction des régimes d'oscillations

Identique à celle du cas d'un DDL couplé à  $M$  NESs en parallèle

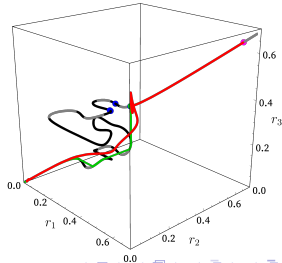
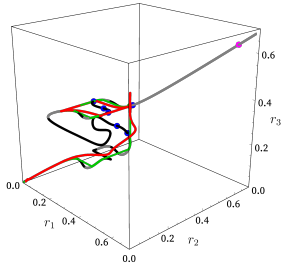
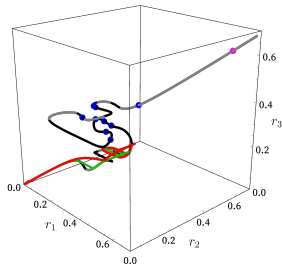
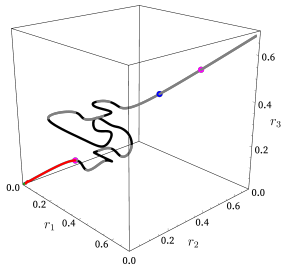
# Application - Atténuation d'une instabilité aéroélastique à l'aide de $M$ NESs



# Application - Atténuation d'une instabilité aéroélastique à l'aide de $M$ NESs

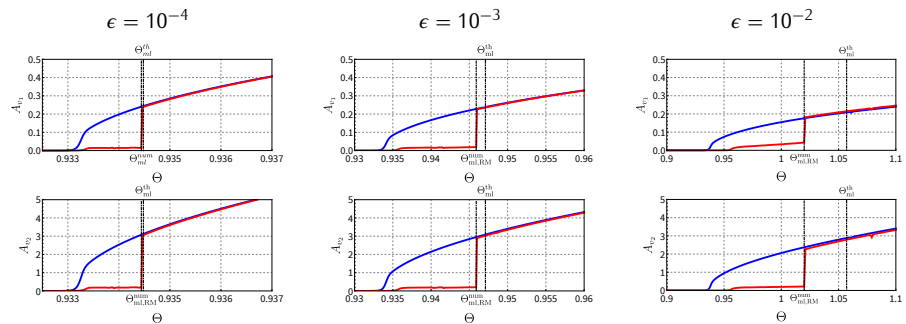
**Exemple avec 3 NESs :**

- points fixes **stables**
- points fixes **instables**
- condition initiale
- Trajectoire théorique
- Trajectoire numérique



# Application - Atténuation d'une instabilité aéroélastique à l'aide de $M$ NESs

## Justesse de la prédition théorique



$\Theta$  : vitesse réduite (adimensionnée) de l'écoulement

- $\Theta_{ml}^{th}$  : prédition théorique de la limite d'atténuation
- $\Theta_{ml,RM}^{num}$  : estimation de la limite d'atténuation à partir de simulations numériques

# Plan

- ① Introduction et résultats préliminaires
- ② Systèmes instables couplés à  $M$  NESS
- ③ Conclusion

## Résultats principaux

- Prédiction théorique des régimes d'oscillations
  - d'un système instable à 1 DDL couplé à un réseau de  $M$  NESs parallèles
  - d'un système instable à  $N$  DDLs couplé à un ensemble de  $M$  NESs
- ⇒ Bonne accords entre la prédiction théorique et les simulations numériques (dans les limites de l'études asymptotiques, c.à.d pour des  $\epsilon$  petits)
- Limite de l'étude :
  - Bonne prédiction pour des  $\epsilon$  petits
  - 1 seul modes instables

## Perspectives

- \* Amélioration de prédiction théorique pour prendre en compte des  $\epsilon$  plus grand et donc des NESs plus efficaces
- \* Prise en compte de plusieurs modes instables
- \* Application possibles :

## Résultats principaux

- Prédiction théorique des régimes d'oscillations
  - d'un système instable à 1 DDL couplé à un réseau de  $M$  NESs parallèles
  - d'un système instable à  $N$  DDLs couplé à un ensemble de  $M$  NESs
- ⇒ Bonne accords entre la prédiction théorique et les simulations numériques (dans les limites de l'études asymptotiques, c.à.d pour des  $\epsilon$  petits)
- Limite de l'étude :
  - Bonne prédiction pour des  $\epsilon$  petits
  - 1 seul modes instables

## Perspectives

- \* Amélioration de prédiction théorique pour prendre en compte des  $\epsilon$  plus grand et donc des NESs plus efficaces
- \* Prise en compte de plusieurs modes instables
- \* Application possibles :

## Résultats principaux

- Prédiction théorique des régimes d'oscillations
  - d'un système instable à 1 DDL couplé à un réseau de  $M$  NESs parallèles
  - d'un système instable à  $N$  DLLs couplé à un ensemble de  $M$  NESs
- ⇒ Bonne accords entre la prédiction théorique et les simulations numériques (dans les limites de l'études asymptotiques, c.à.d pour des  $\epsilon$  petits)
- Limite de l'étude :
  - Bonne prédiction pour des  $\epsilon$  petits
  - 1 seul modes instables

## Perspectives

- \* Amélioration de prédiction théorique pour prendre en compte des  $\epsilon$  plus grand et donc des NESs plus efficaces
- \* Prise en compte de plusieurs modes instables
- \* Application possibles :

## Résultats principaux

- Prédiction théorique des régimes d'oscillations
  - d'un système instable à 1 DDL couplé à un réseau de  $M$  NESs parallèles
  - d'un système instable à  $N$  DDLs couplé à un ensemble de  $M$  NESs
- ⇒ Bonne accords entre la prédiction théorique et les simulations numériques (dans les limites de l'études asymptotiques, c.à.d pour des  $\epsilon$  petits)
- Limite de l'étude :
  - Bonne prédiction pour des  $\epsilon$  petits
  - 1 seul modes instables

## Perspectives

- Amélioration de prédiction théorique pour prendre en compte des  $\epsilon$  plus grand et donc des NESs plus efficaces
- Prise en compte de plusieurs modes instables
- Application possibles :
  - Modèle de frein plus réaliste (des modes EF montrent la présence de plusieurs modes instables)
  - Sourdines d'instruments à vent

## Résultats principaux

- Prédiction théorique des régimes d'oscillations
  - d'un système instable à 1 DDL couplé à un réseau de  $M$  NESs parallèles
  - d'un système instable à  $N$  DLLs couplé à un ensemble de  $M$  NESs
- ⇒ Bonne accords entre la prédiction théorique et les simulations numériques (dans les limites de l'études asymptotiques, c.à.d pour des  $\epsilon$  petits)
- Limite de l'étude :
  - Bonne prédiction pour des  $\epsilon$  petits
  - 1 seul modes instables

## Perspectives

- Amélioration de prédiction théorique pour prendre en compte des  $\epsilon$  plus grand et donc des NESs plus efficaces
- Prise en compte de plusieurs modes instables
- Application possibles :
  - Modèle de frein plus réaliste (des modes EF montrent la présence de plusieurs modes instables)
  - Sourdines d'instruments à vent

## Résultats principaux

- Prédiction théorique des régimes d'oscillations
  - d'un système instable à 1 DDL couplé à un réseau de  $M$  NESs parallèles
  - d'un système instable à  $N$  DLLs couplé à un ensemble de  $M$  NESs
- ⇒ Bonne accords entre la prédiction théorique et les simulations numériques (dans les limites de l'études asymptotiques, c.à.d pour des  $\epsilon$  petits)
- Limite de l'étude :
  - Bonne prédiction pour des  $\epsilon$  petits
  - 1 seul modes instables

## Perspectives

- Amélioration de prédiction théorique pour prendre en compte des  $\epsilon$  plus grand et donc des NESs plus efficaces
- Prise en compte de plusieurs modes instables
- Application possibles :
  - Modèle de frein plus réaliste (des modes EF montrent la présence de plusieurs modes instables)
  - Sourdines d'instruments à vent

# Merci de votre attention